

OPEN-SHELL の力学解析

名古屋工業大学大学院 学生員 西川芳久

まえがき 本論文は、連続型の Closed-Shell を解析する前段階として、図-2 ($\phi=0, \varphi=\pi-\theta$ において Simply Supported), および図-3 ($\xi=0, \xi=l/a$ において Simply Supported) の様な構造物を解析したものである。外荷重としては、構造物の内側から、水圧がかかっているものとする。今、外内荷重 X, Y, Z 、それに応する変位 U, V, W の方向を図-1 の様におく。

$X=Y=Z=0$ の場合（一般解）、応力歪曲関数 $F(\xi, \phi)$ を用いると、Shell の一般理論による微分方程式は次の(1)式の様になる。

$$\Delta \Delta \Delta \Delta F + \frac{1-\nu^2}{C^2} \frac{\partial^4 F}{\partial \xi^4} = 0 \quad \text{--- (1)}$$

$$\text{ただし}, C^2 = \frac{f^2}{12a^2}, \xi = \frac{x}{a}, \Delta = \frac{\partial^2}{\partial \xi^2} + \frac{\partial^2}{\partial \varphi^2}$$

解としては、 X, Y, Z がある場合の特解と一般解の和として表わす。

解法 今の場合、外荷重は水圧のみであるから、 $X=Y=0, Z=-ra\xi$ (r : 水の単位体積重量)。図-2 の場合には、 Z を次の様なフーリエ級数に展開する。

$$Z = -ra\xi = -ra\xi \sum_{m=1,3,\dots}^{\infty} \frac{4}{m\pi} \sin m \frac{\varphi}{\pi-\theta} \pi$$

そうすると特解 U_0, V_0, W_0 は次の様になる。

$$\left\{ \begin{array}{l} U_0 = \sum_{m=1,3,\dots}^{\infty} -r \frac{(1-\nu^2)Q^3}{C^2 E R} \frac{4}{m\pi} \left(\frac{\pi-\theta}{m\pi}\right)^6 \sin m \frac{\varphi}{\pi-\theta} \pi \\ V_0 = \sum_{m=1,3,\dots}^{\infty} r \frac{(1-\nu^2)Q^3}{C^2 E R} \frac{4}{m\pi} \left(\frac{\pi-\theta}{m\pi}\right)^5 \xi \cos m \frac{\varphi}{\pi-\theta} \pi \\ W_0 = \sum_{m=1,3,\dots}^{\infty} r \frac{(1-\nu^2)Q^3}{C^2 E R} \frac{4}{m\pi} \left(\frac{\pi-\theta}{m\pi}\right)^4 \xi \sin m \frac{\varphi}{\pi-\theta} \pi \end{array} \right.$$

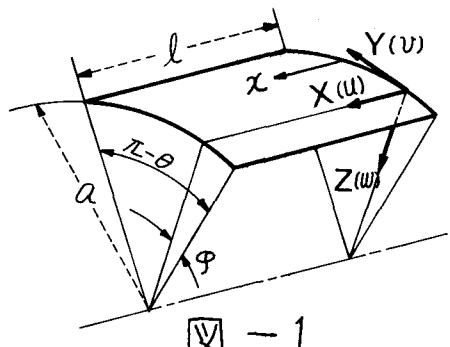


図-1

一般解としては、 $F_m = \sum_{m=1}^{\infty} e^{im\xi} \sin m \frac{\varphi}{\pi-\theta} \pi$ とおいて、これを(1)式に代入して求めろ。解をこの様な形におくと $\phi=0, \varphi=\pi-\theta$ において単純支持であるという境界条件 ($U=W=0, M_\varphi=N_\varphi=0$) の暗黙の内に満足されるので、一般解の中に含まれる 8 つの未定定数を求めるのに、 $\xi=0$ において Free ($N_x=0, M_x=0, S_x=0, T_x=0$)、 $\xi=l/a$ において Built-in ($U=V=W=0, \frac{\partial W}{\partial \xi}=0$) の 8 つの境界条件を用いる。

図-3 の場合には、 Z を次の様にフーリエ展開する。

$$Z = -ra\xi = -ra \sum_{n=1}^{\infty} \frac{2}{\lambda_n} (-1)^{n-1} \sin \lambda_n \xi \quad (\lambda_n = \frac{n\pi a}{l})$$

そうすると特解 U_0, V_0, W_0 は次の様になる。

$$\left\{ \begin{array}{l} U_0 = \sum_{n=1}^{\infty} 2r \frac{\nu}{\lambda_n^2} \frac{(1-\nu^2)Q^3}{C^2 E R} (-1)^{n-1} \frac{1}{(1-\nu^2 + C^2 \lambda_n^4)} \cos \lambda_n \xi \\ V_0 = 0 \end{array} \right.$$

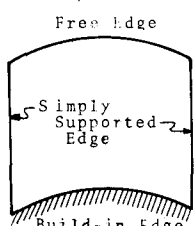


図-2

$$W_0 = \sum_{n=1}^{\infty} -2r \frac{(1-\nu^2) a^3}{Eh} \frac{(-1)^{n-1}}{\lambda_n} \frac{1}{(1-\nu^2 + C^2 \lambda_n)} \sin \lambda_n \xi$$

一般解としては、 $F_n = \sum_{n=1}^{\infty} e^{i\phi} \sin \lambda_n \xi$ において求める。解をこの様な形におくと $\xi = 0, \xi = l/a$ において単純支持の境界条件 ($V = W = 0, M_x = N_x = 0$) が暗黙の内に満足される。他の 8 つの境界条件は、 $\varphi = 0, \varphi = \pi - \theta$ において Built-in の境界条件 ($U = V = W = 0, \frac{\partial W}{\partial \varphi} = 0$) である。

ここで、すべての変位、および応力は特解と一般解 F の関数となっている。Graph-1 $W(\text{No1})$

計算例 計算結果を Graph 1 へ 5 に示しておいた。用いた値は、
 $l = 14^m, a = 5^m, h = 0.4^m, \nu = 0.25, E = 2.5 \times 10^6 t/m^2, \theta = 30^\circ$ 。

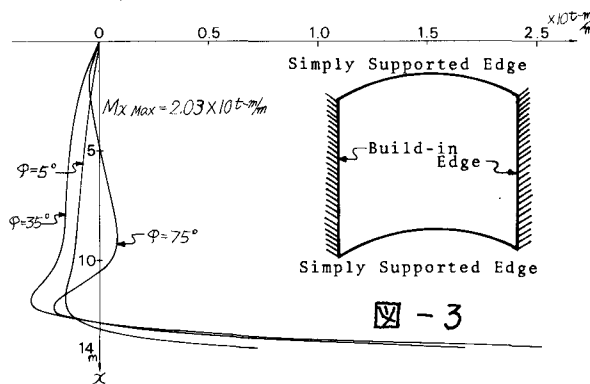
No1 は図-2 の構造物、No2 は図-3 の構造物の解析結果を示した。

両方の場合共、 M_x は底部付近で最大の値を示している。又、図-2 の構造物の場合、 W が $\varphi = 0^\circ \sim 15^\circ$ の間で、 $\varphi = \text{const}$ の線上の最大変位を示すのは、 $\xi = 5^m \sim 6^m$ の間であった。それは底部の Built-in の影響を受けてそうなったものと考えられる。出て来た結果は、境界条件等でチェックしておいた。

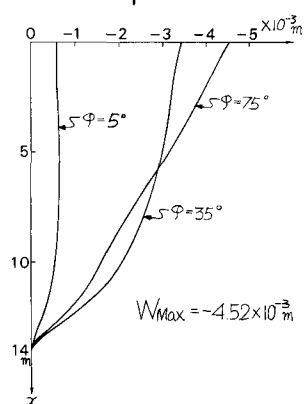
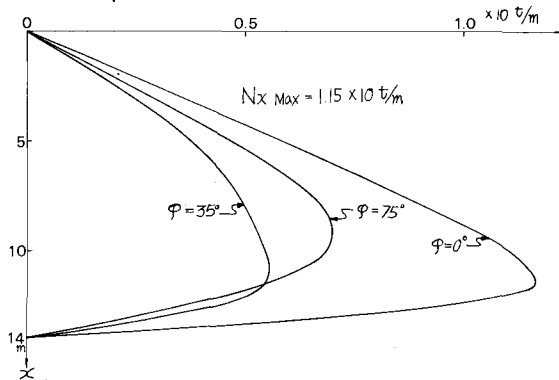
参考文献 (1) Theory of Plates and Shells.

By S.P.Timoshenko and S.W.Krieger

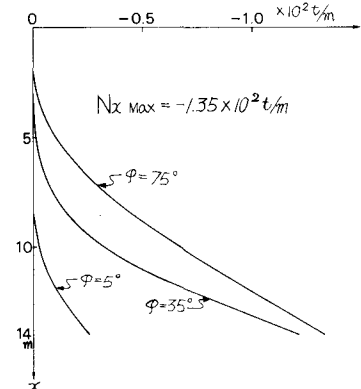
Graph-3 $M_x(\text{No1})$



Graph-4 $N_x(\text{No2})$



Graph-2 $N_x(\text{No1})$



Graph-5 $M_x(\text{No2})$

